

*Low  $p_T$  NPE analysis*  
from *Run10 Au+Au 200 GeV*

Kunsu OH 오근수  
Pusan National University

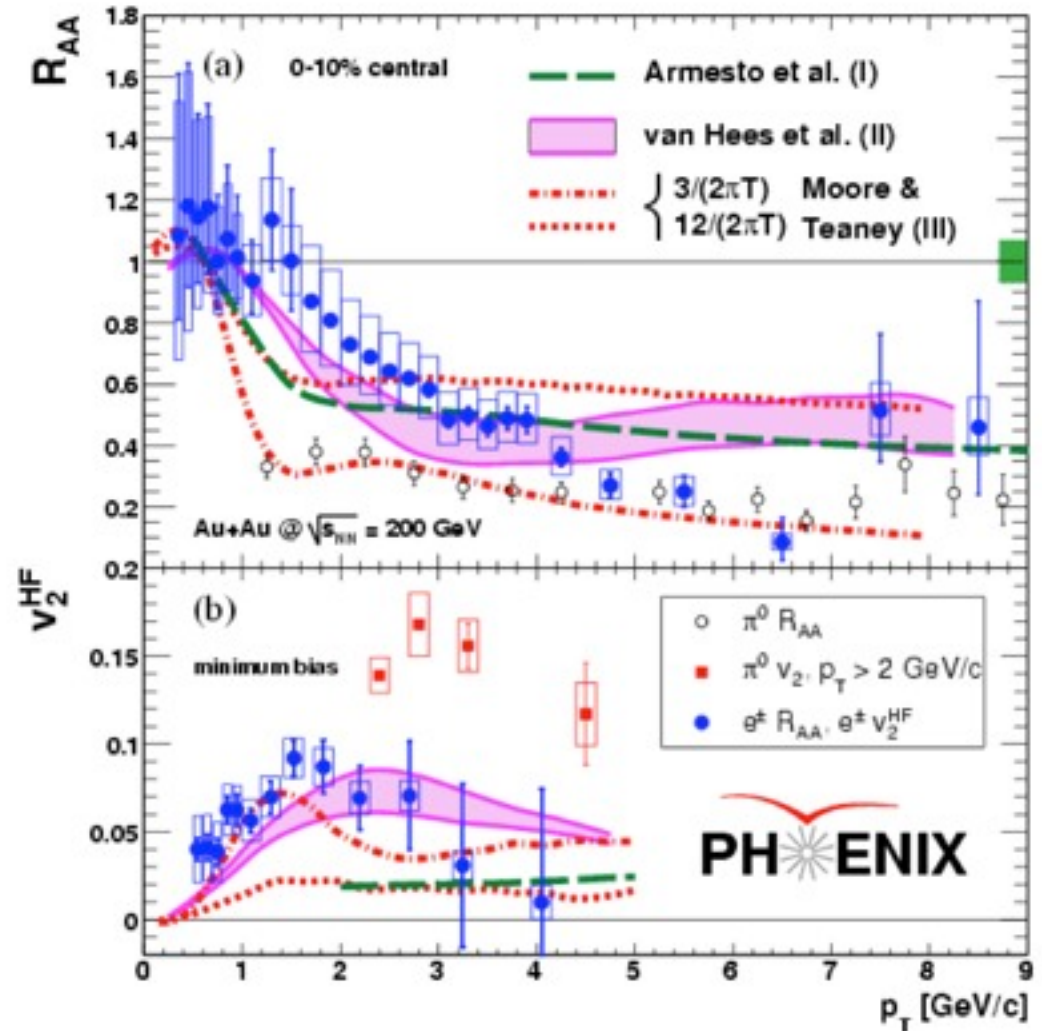
Heavy Ion Meeting 2012-02  
Feb. 21, 2012

# Contents

- Motivation - NPE and Analysis Scheme
- STAR experiment
- NPE Analysis in detail
  - ▶ Inclusive electron yield
  - ▶ Efficiency correction
  - ▶ Photonic background
- Summary

# Motivation

- Non-photonic electron
  - ▶ heavy-flavor semileptonic decays
  - ▶ to study heavy flavor production.
- PHENIC non-photonic electron results.

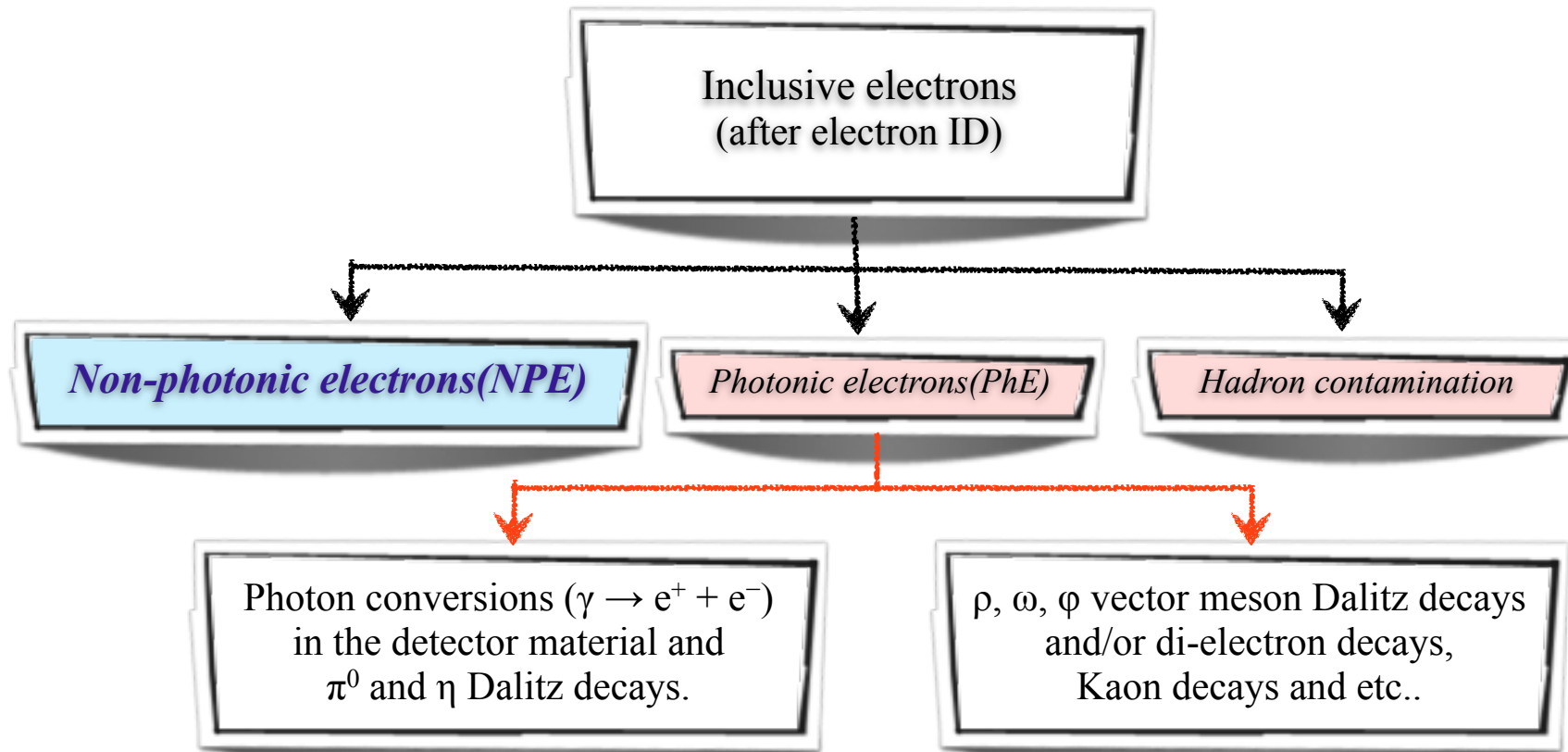


$$c \rightarrow e^+ + \text{anything}(9.6\%)$$

$$B \rightarrow e^+ + \text{anything}(10.86\%)$$

PDG2010

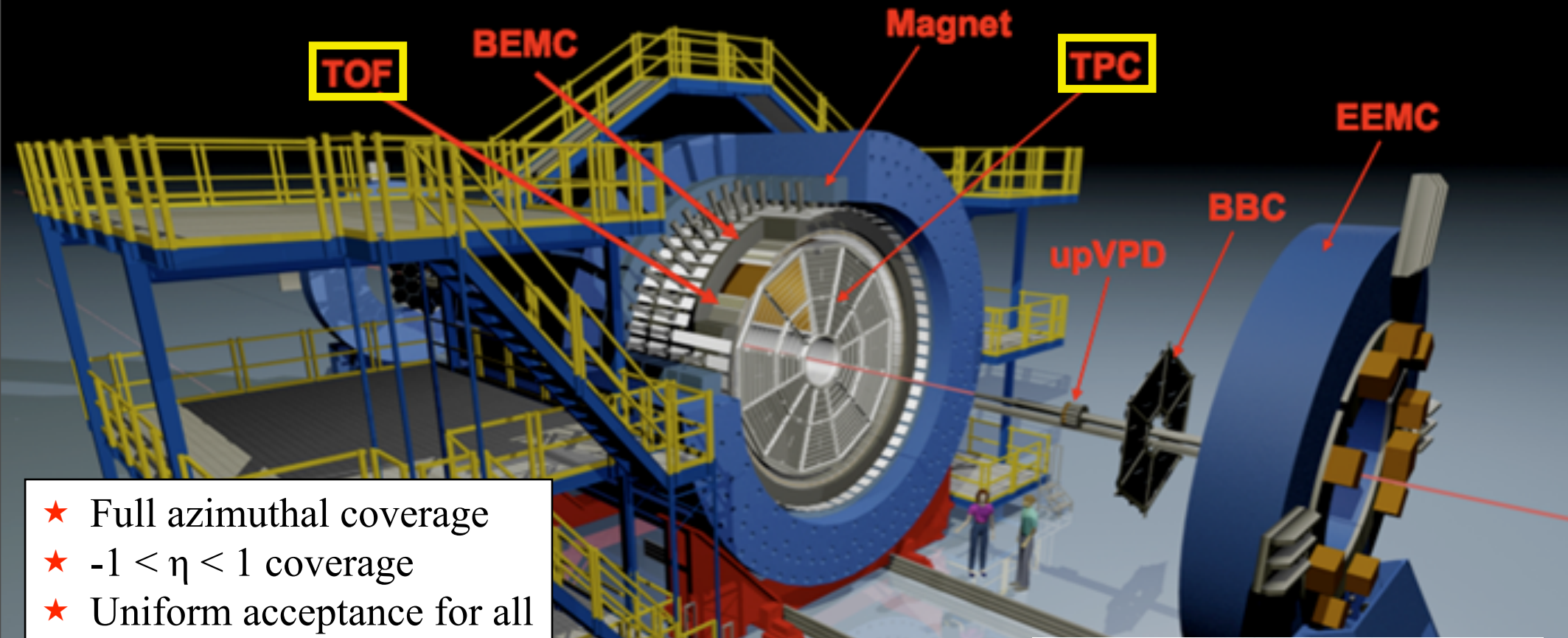
# NPE Analysis Scheme



The **invariant mass** of electron-positron pairs from **photon conversions** or **Dalitz decays** will be very small.

Contributions from all **other sources** of photonic background combined are **only a few percent of the total background** and can be ignored when compared to systematic uncertainties.

# The Solenoid Tracker At RHIC (STAR)



- ★ Full azimuthal coverage
- ★  $-1 < \eta < 1$  coverage
- ★ Uniform acceptance for all beam energies
- ★ Full TOF barrel (Run10)
- ★ Low material budget in the tracking volume

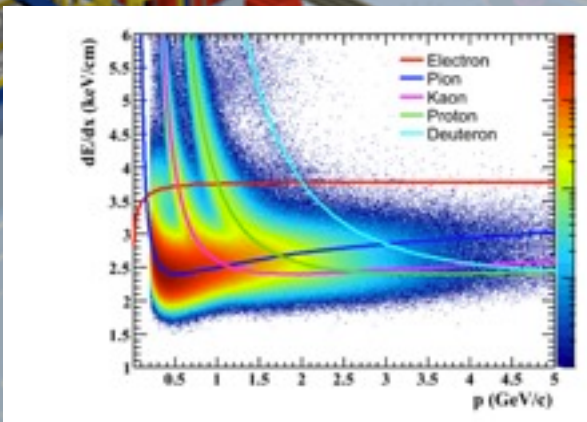


그림 3.2: Cu+Cu 200GeV 충돌에서의 운동량에 따른 dE/dx 분포 및 이론적 예측값[31].

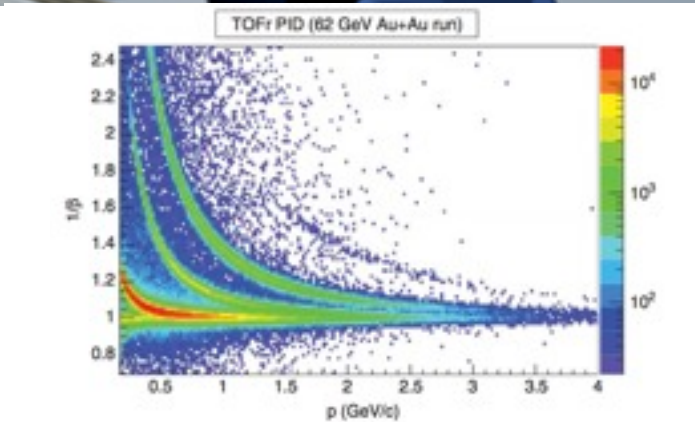


그림 3.3: Au+Au 62GeV 충돌에서의 운동량에 따른 1/β 분포[33].





# Run10 Au+Au 200GeV MinBias

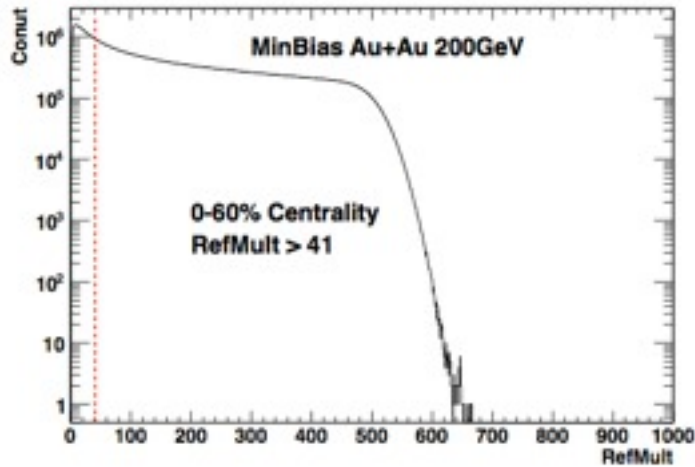


그림 3.7: 검출된 대전 입자 개수 분포

Trigger: MinBias	Cut	Events size
Total		226M
Vz [cm]	(-40, 40)	218M
vpdVz - Vz [cm]	(-3, 3)	200M
Centrality(refmult) [%(#)]	0-60(> 41)	154M

표 3.1: 이벤트 선택 조건

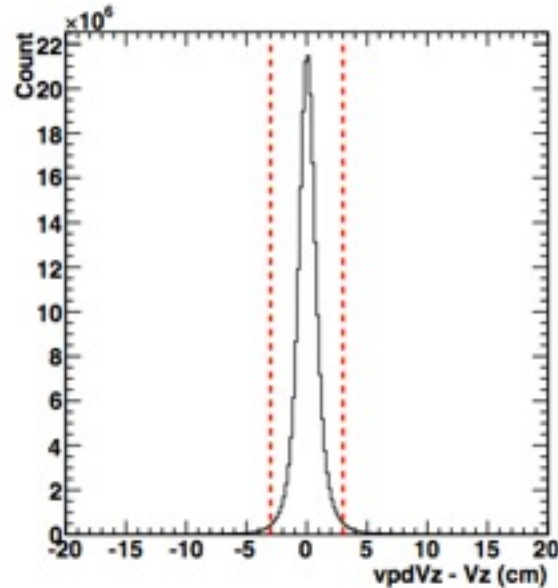
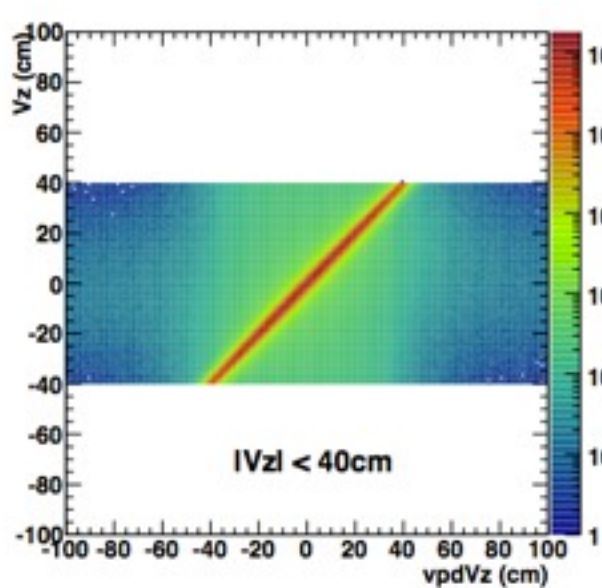


그림 3.6: Vertex Z와 vpd Vertex Z의 차이

Primary track?	yes
TOF hits matched?	yes
global DCA [cm]	$\leq 1.0$
nFitPts [#]	$\geq 20$
nFitPts/nMax	$\geq 0.52$
ndEdxFitPts [#]	$\geq 15$
$1/\beta - 1$	(-0.025, 0.025)
rapidity	(-0.5, 0.5)
$p_T$ [GeV/c]	(0.2, 20)

표 3.2: 생성된 모든 전자 전자 선택 조건

# Electron identification

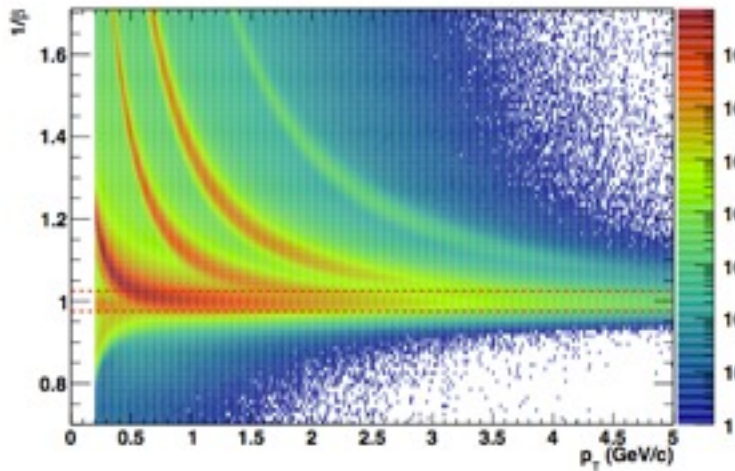


그림 3.9: 횡방향 운동량에 따른 입자 속도( $1/\beta$ ) 분포(TOF)

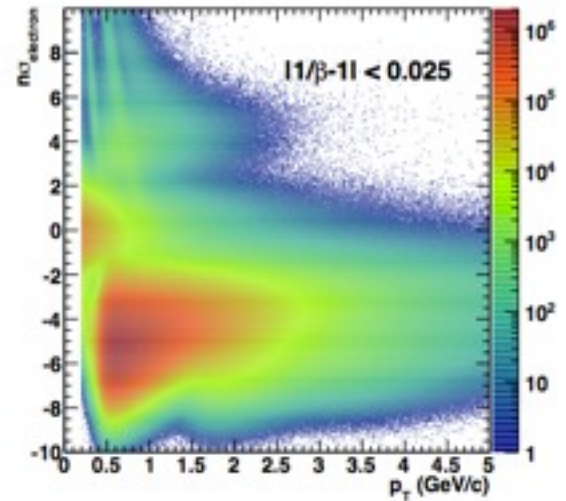
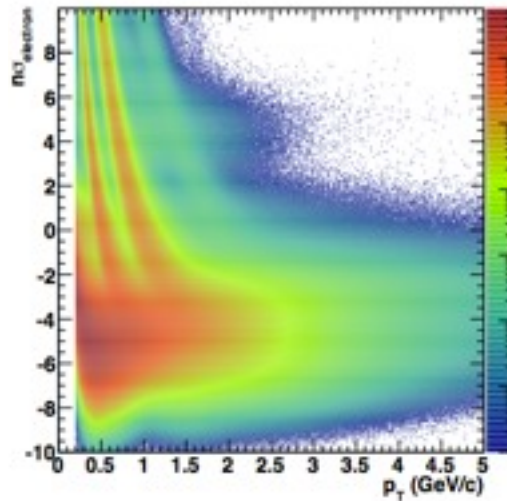


그림 3.8: 횡방향 운동량에 따른  $n\sigma_{electron}$  분포(TPC)

- TOF 검출기로 부터 얻어진  $1/\beta$  값이 1에 가까운( $|1/\beta - 1| < 0.025$ ) 경우, 질량이 매우 가벼운 입자이므로 1차적으로 전자를 골라냄.
- TPC 검출기로 부터 얻어진  $dE/dx$ 의 정보를 바탕으로 전자 식별.
- 횡운동량에 따른  $dE/dx \rightarrow n\sigma_{electron}$  분포로 나타냄.

# pure Hadron's sample

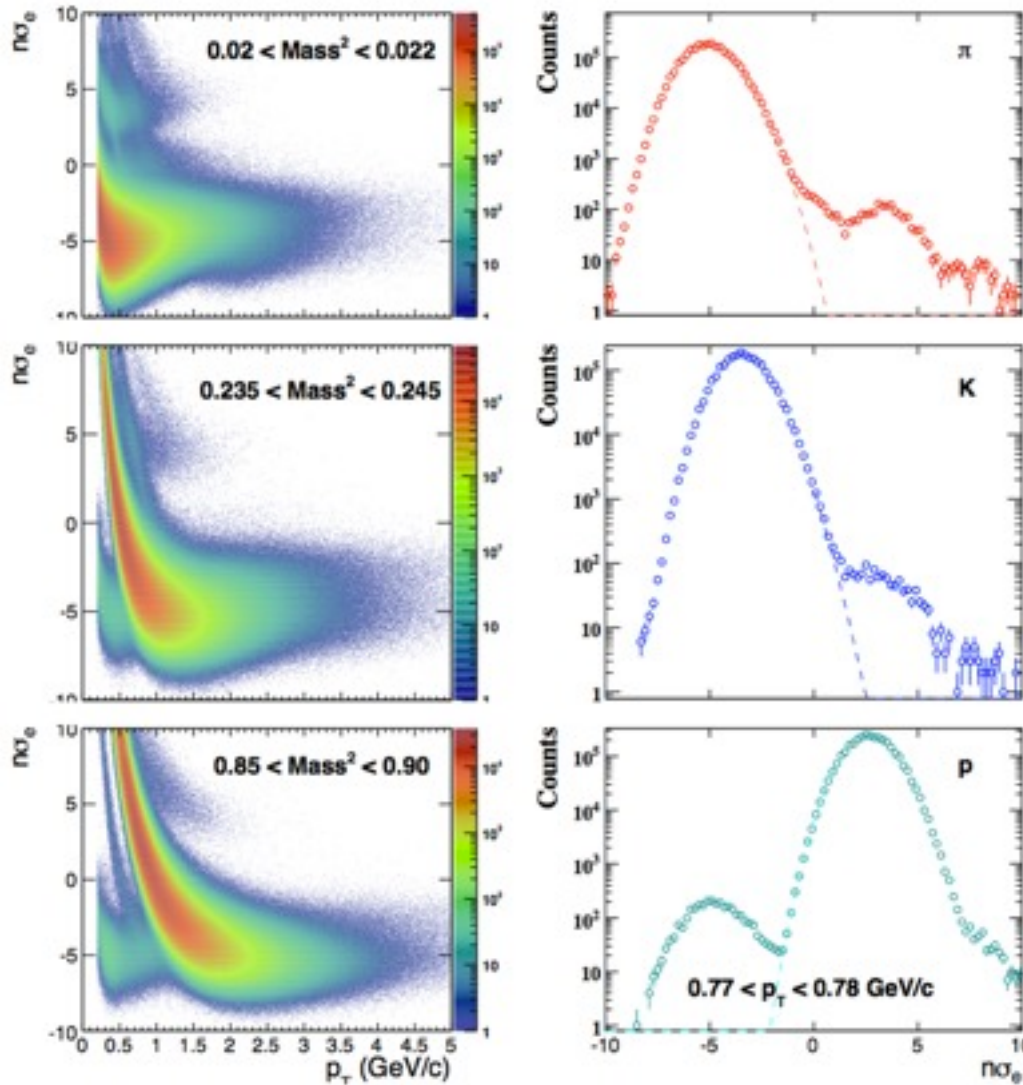
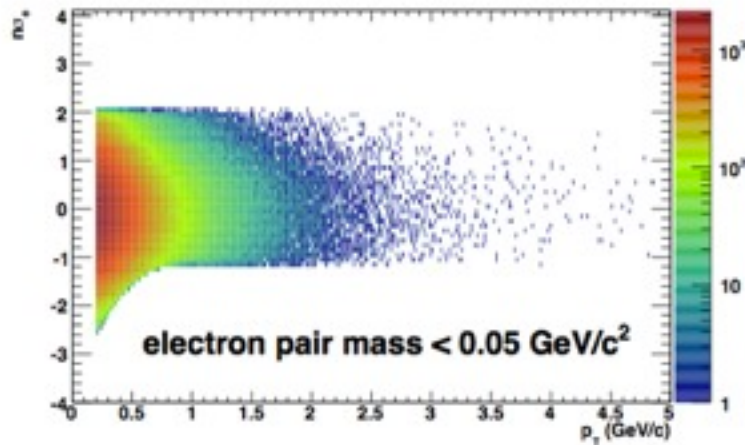
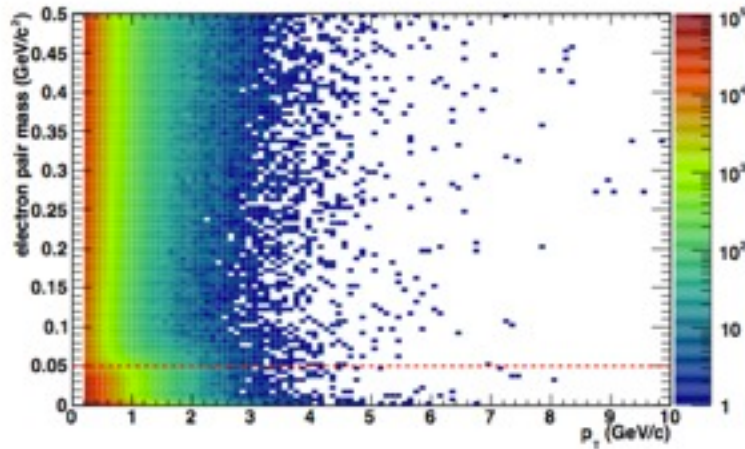


그림 3.10: High purity hadron sample

- 강입자들의 분포는 가우시안 이 아니므로 그들의 개수를 산 출 하기 매우 힘들.
- TOF 검출기로 부터 얻어진  $Mass^2$  정보를 이용해서 순수한 강입자 모양을 이용해서 전자 의 개수를 산출 하는데 사용.



# pure Electron sample



- 원칙적으로  $n\sigma_{\text{electron}}$ 에서 전자의 횡운동량에 대한  $\sigma = 1$ ,  $\text{mean} = 0$ 인 가우시안 분포를 가져야 하지만, 실제로는 약간 차이가 있음.
- 측정된 모든 전자들 중, 각각의 이벤트 내에서 전자쌍을 만들고 그들중 불변질량이 0에 가까운 전자쌍을 이용해서 순수한 전자의 분포를 이용.

그림 3.11: Invariant mass of electron pair Vs.  $p_T$  and pure electron  $n\sigma_e$  Vs.  $p_T$  distribution.

# Electron identification

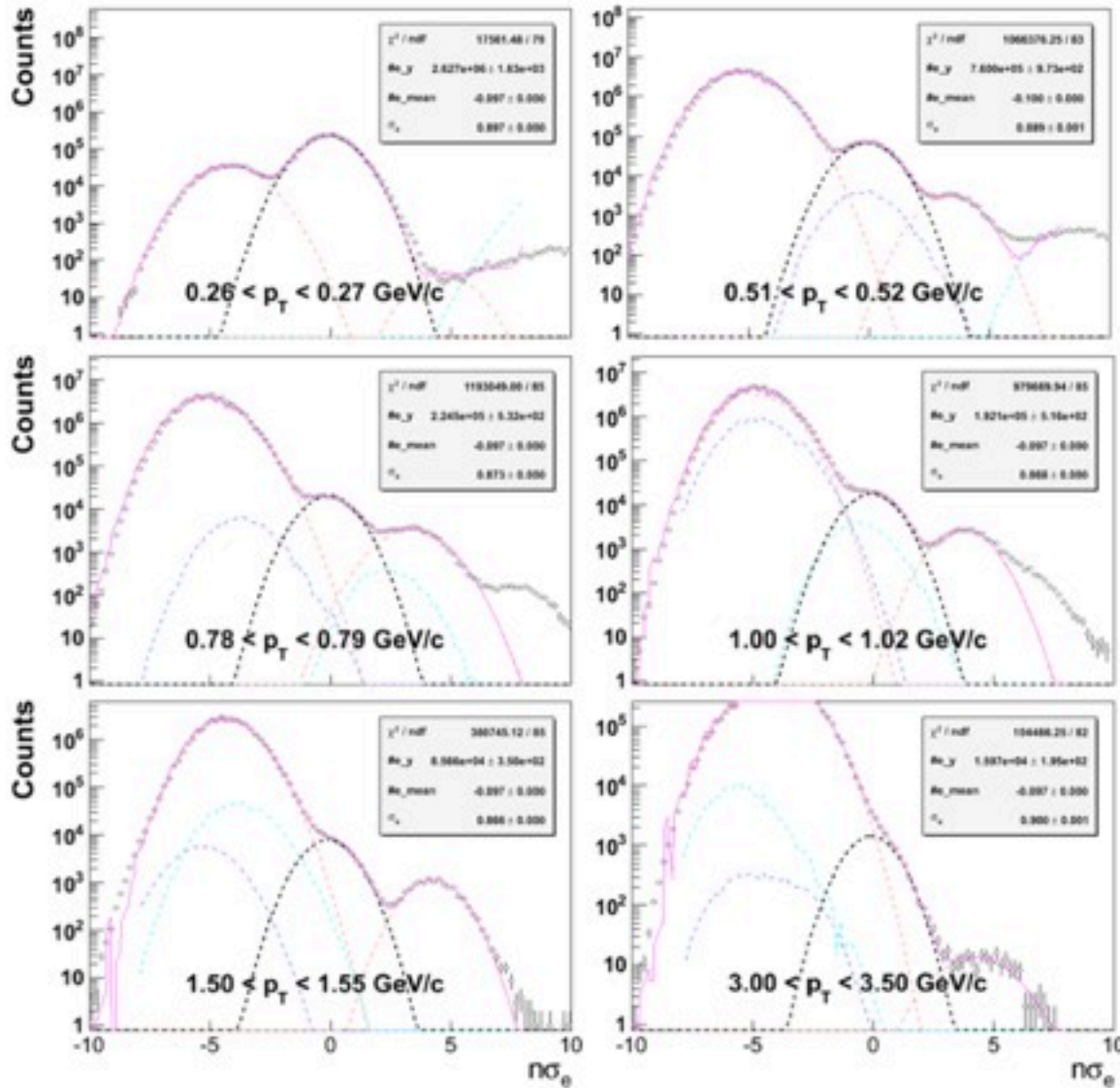


그림 3.12:  $n\sigma_e$  fit for inclusive electron raw yield extraction

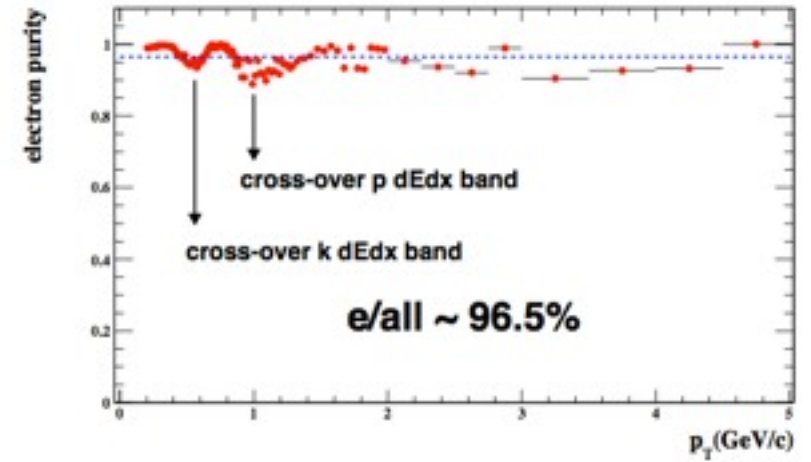


그림 3.13: Estimate electron purity

- 순수한 강입자의 분포와 순수한 전자의 분포를 이용해서 각각의 횡운동량에 따른 전자의 개수를 산출.
- 이때, 전자의 순수도는 약 96%

# Efficiencies correction

TPC Tracking Efficiency - track reconstruction efficiency and TPC acceptance efficiency

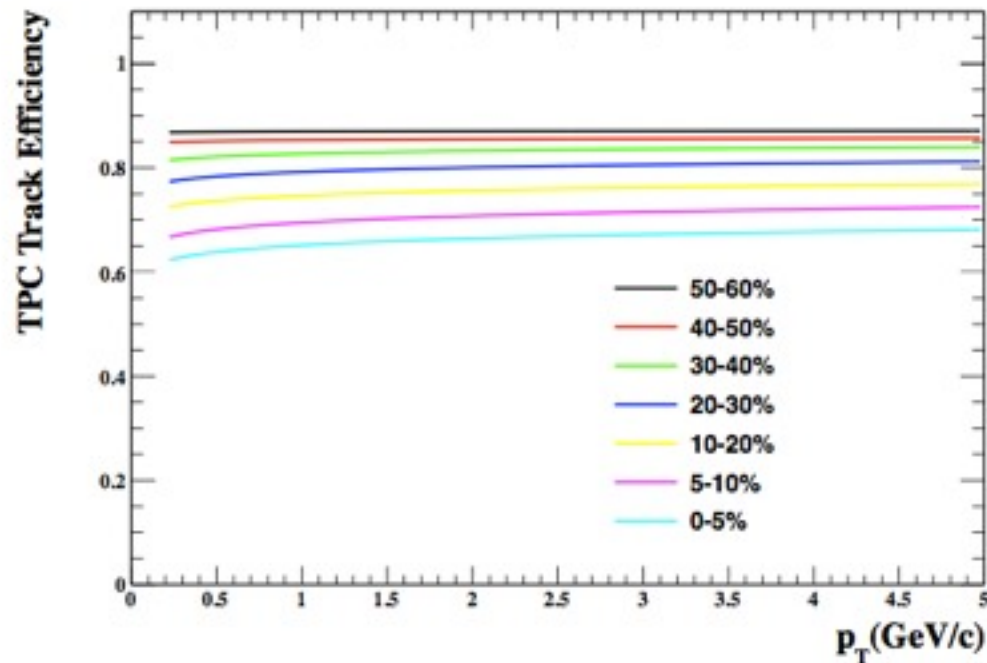


그림 3.14: TPC Tracking Efficiency for each centrality

- TPC tracking efficiency depend on centrality (Reference multiplicity).
- Positron embedding study
- same cut applied with real data analysis

# Efficiencies correction

TOF matching efficiency - TPC track and TOF hit matching efficiency and TOF matching efficiency

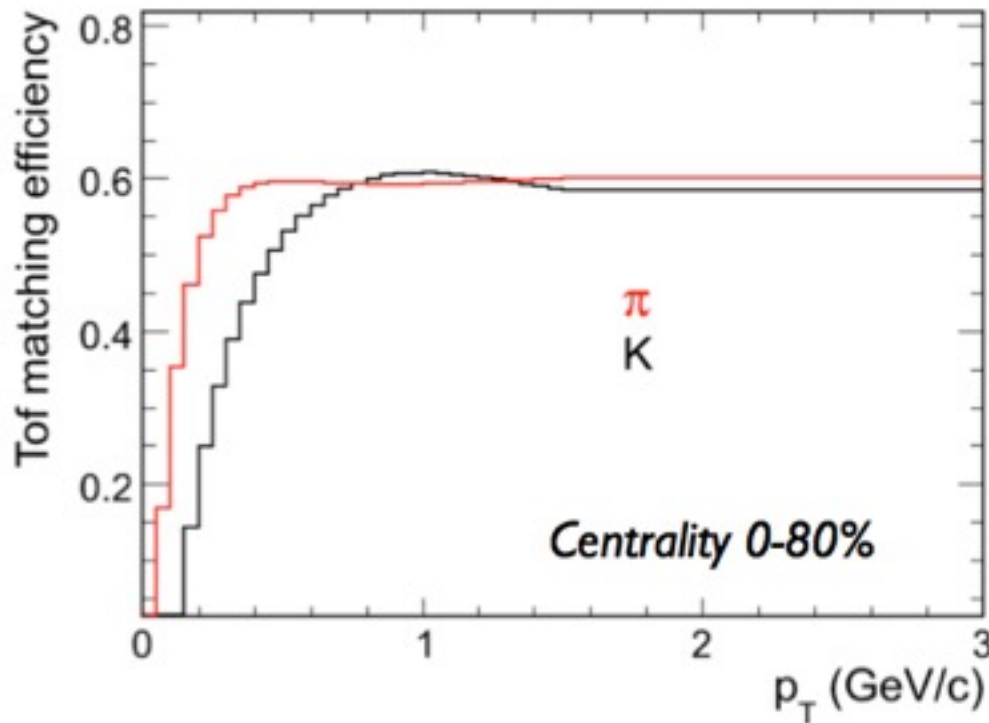


그림 3.15: TOF Matching Efficiency

- TOF matching efficiency depend on particle momentum.
- We expect  $p_T$  dependency will be small effect for low mass particle (electron).
- From  $\pi$  and K efficiency, we decide TOF matching efficiency for electron is 60%.



# Efficiencies correction

ndEdxFitPts(number of dE/dx fit points) cut efficiency.

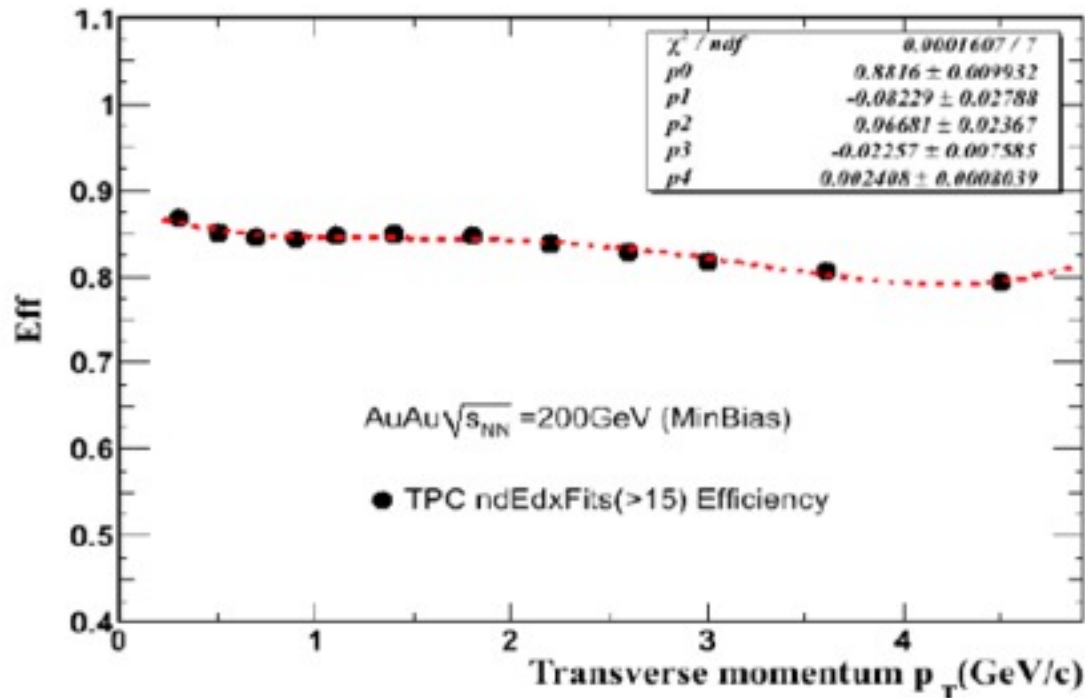
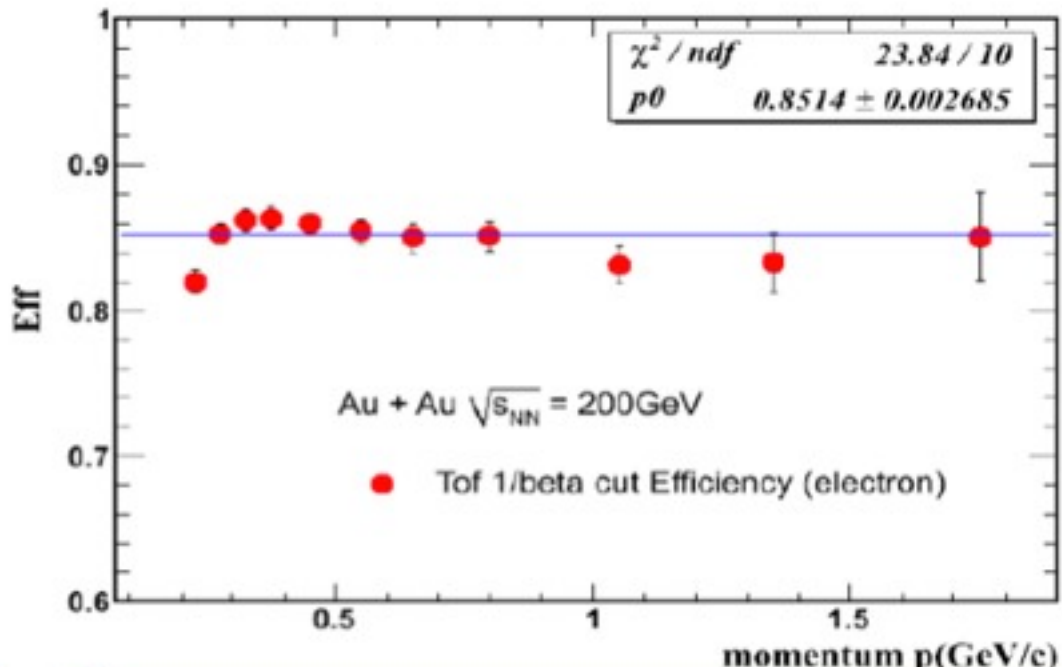


그림 3.16: *ndEdxFitPts* cut efficiency

- ndEdxFitPts (number of dE/dx fit points) cut efficiency is not included TOF tracking efficiency technically.
- We obtained to compare w/ ndEdxFitPts cut and w/o ndEdxFitPts cut in real data.

# Efficiencies correction

$|1/\beta - 1|$  cut efficiency.



- $|1/\beta - 1|$  조건 효율은 PID에서  $|1/\beta - 1|$  조건에 의해서 생김.
- ndEdxFitPts 조건 효율과 비슷한 방법으로 얻을 수 있다.

그림 3.17:  $|1/\beta - 1|$  cut efficiency

# Photonic Background

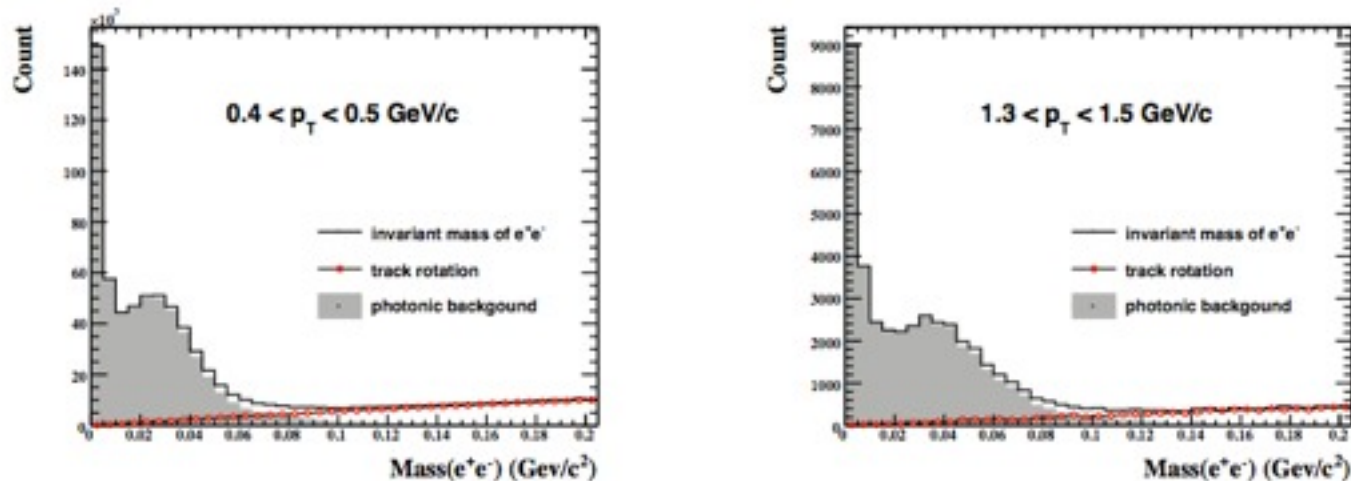


그림 3.19: 광자에 의한 배경

- We obtained *photonic electron yield* by electron pair invariant mass  $< 0.15 \text{ GeV}/c^2$ .
- $\gamma \rightarrow e^+e^-$  photon conversion in the material in STAR detector.
- $\pi^0 \rightarrow \gamma e^+e^-$  ( $1.174 \pm 0.035$ )%
- $\eta \rightarrow \gamma e^+e^-$  ( $0.70 \pm 0.07$ )%
- Photonic electron needed partner finding efficiency.

# Partner Finding Efficiency

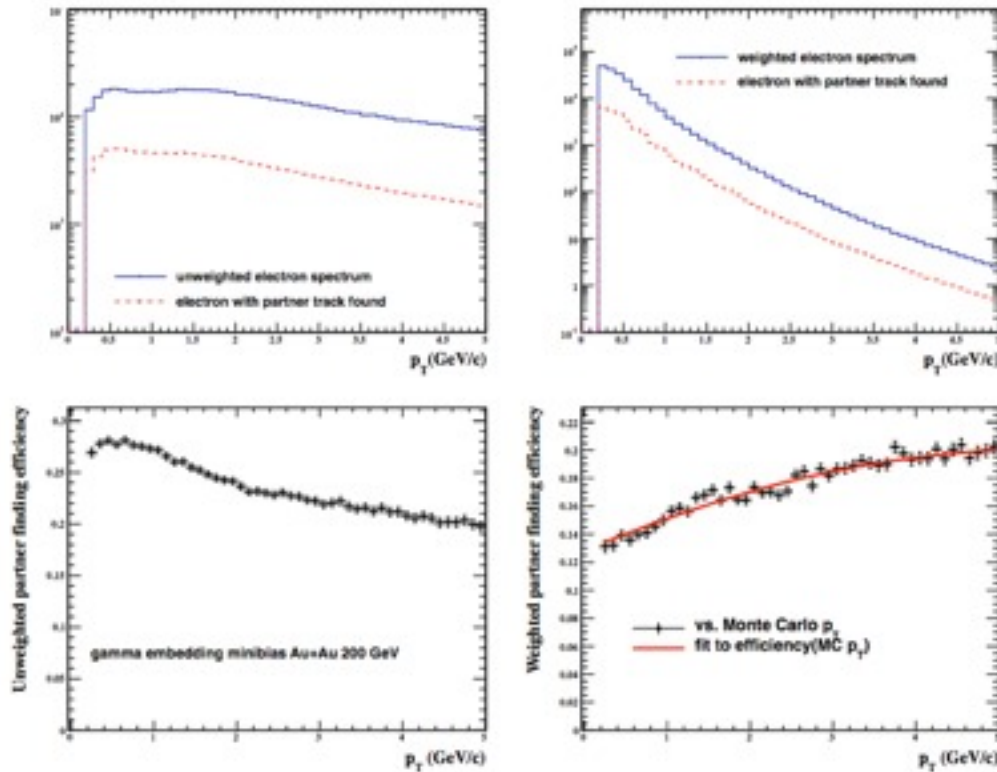


그림 3.20: Partner finding efficiency

- 짝찾기 효율 얻고 이를 보정 함으로서 실제 생성된 광자에 의한 배경을 얻을 수 있음.
- 모의 광자를 실제 실험 결과에 끼워 넣어 (gamma embedding) 계산 할 수 있음.
- 끼워 넣은 모의 광자는 균일한 횡운동량의 분포를 가지고 있기 때문에 실제 광자의 분포로 보정(weighting)이 필요.



# NPE $p_T$ Distribution

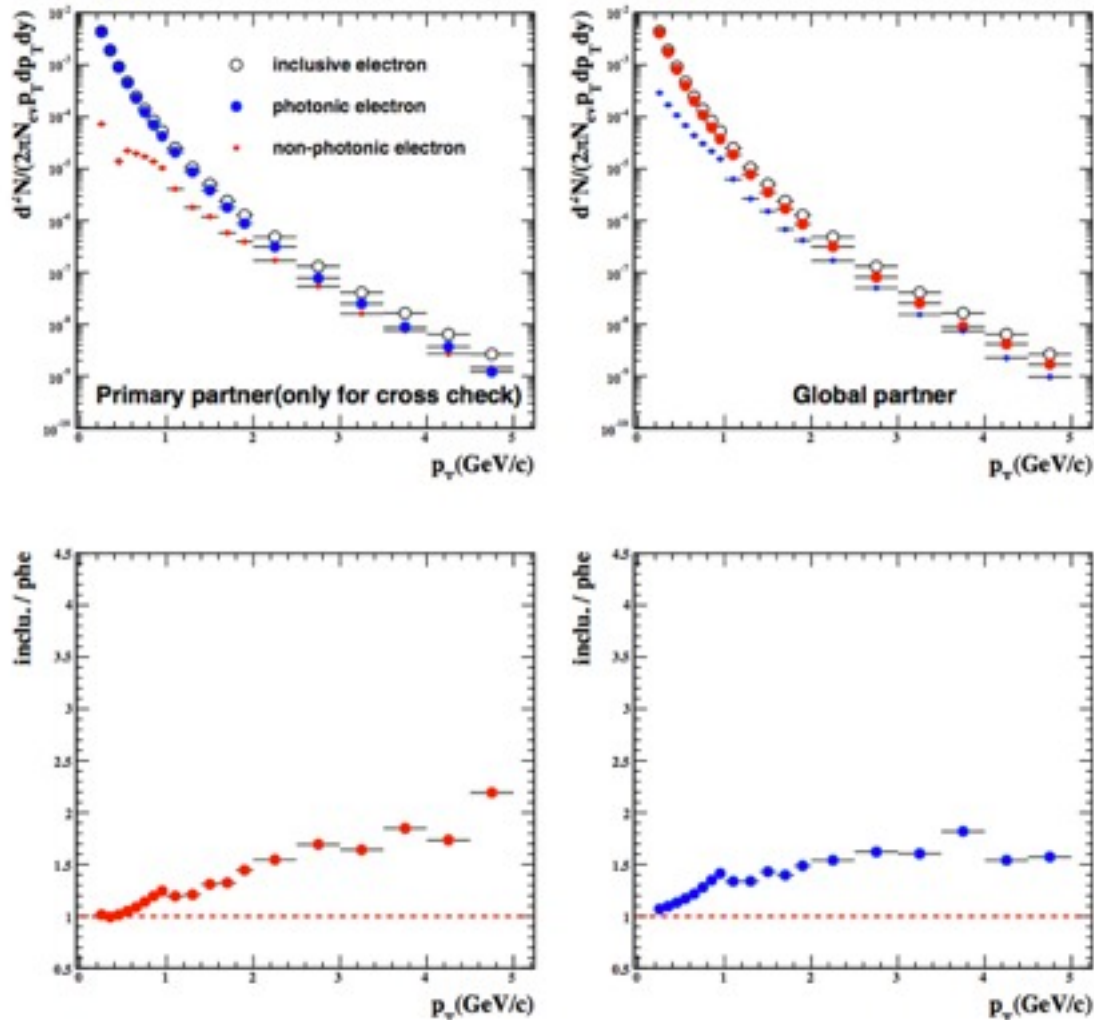


그림 3.21: inclusive electron and photonic electron spectra with global/primary partner

- Global track
  - reconstructed from TCP information only
- Primary track
  - reconstructed from TPC + vertex position bias.
  - Low partner finding efficiency ( $\sim 5\%$ )
- In principle, it will be same with global and primary partner.
  - primary partner finding efficiency is too low, small fluctuation will be make large difference.
  - global partner will be better. Also, we need investigate study for global partner.

# Summary

- I obtained *non-photonic electron* yield in 200 GeV Au+Au collisions.
  - ▶ (*new*) PID method using TPC and TOF
  - ▶ low  $p_T$  NPE yield
- To-do
  - ▶ investigate study for backgrounds
    - photonic backgrounds
    - hadron contamination
    - light vector meson di-electron/ Daliz decay
    - ...

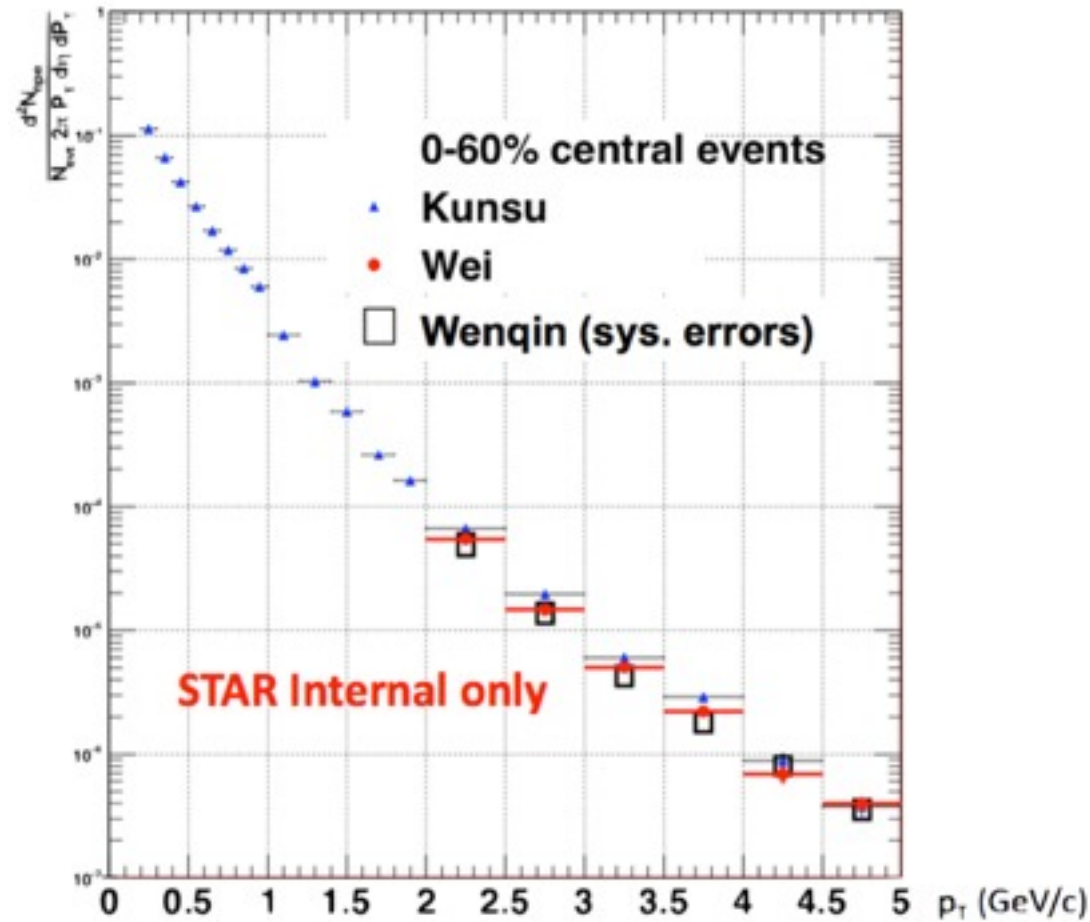


그림 4.1: Non-photonic electron spectra with Wei's and Wenqin's result

*Thank you for attention.*

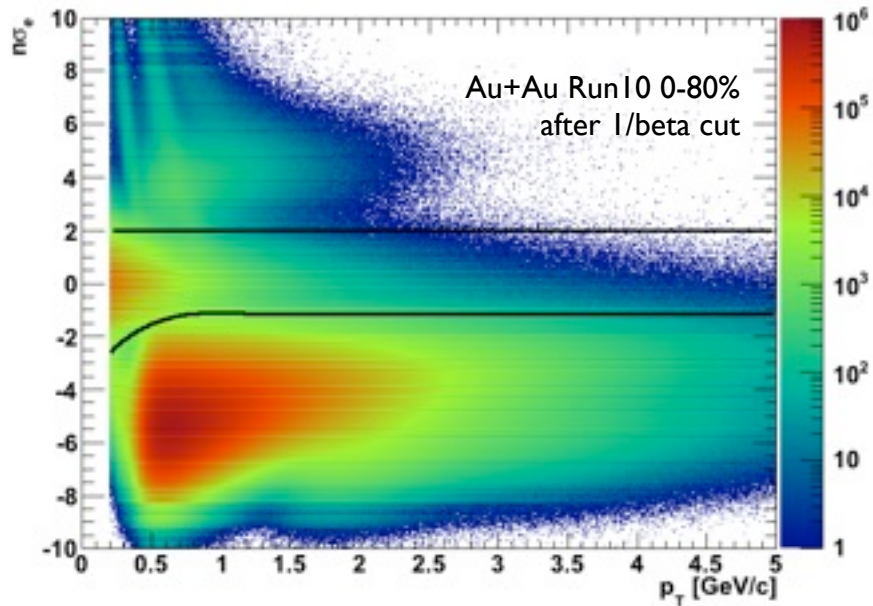
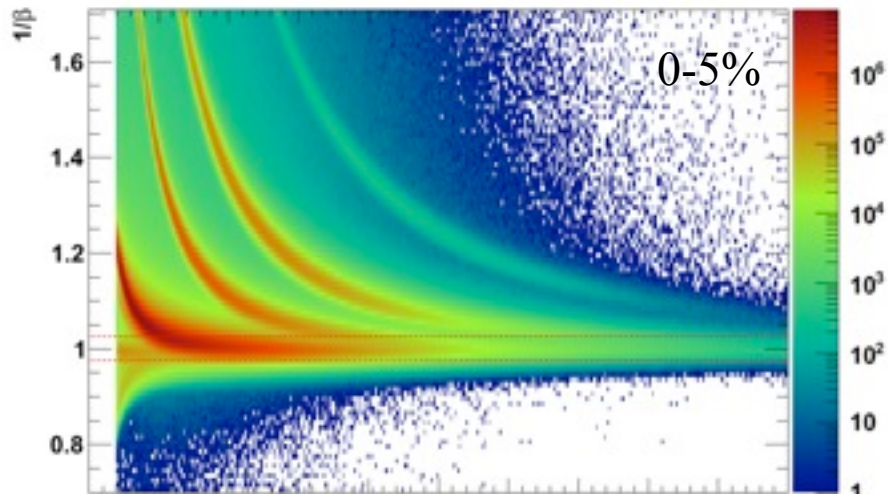
# Backup

**In the STAR environment, the inclusive electron sample consists of several sources of electrons:**

- Photon conversions ( $\gamma \rightarrow e^+ + e^-$ ) in the detector material between the interaction point and the TPC. There are several sources for the conversion photons: direct photons, photons from  $\pi^0$ ,  $\eta$  decays, etc.
- $\pi^0$ ,  $\eta$ , etc. scalar meson Dalitz decays.  $\pi^0 \rightarrow e^+ + e^- + \gamma$  (1.198±0.032)%  $\eta \rightarrow e^+ + e^- + \gamma$  (0.60±0.08)%
- $\rho$ ,  $\omega$ ,  $\phi$  vector meson Dalitz decays and/or di-electron decays.
- Kaon decays
- Heavy quark (charm and bottom) hadron semi-leptonic decays.
- Other possible contributions such as Dell-Yan, heavy quarkonium decay, thermal electrons, etc.

*Reference: Xiaoyan Lin's PhD Thesis for STAR collaboration*

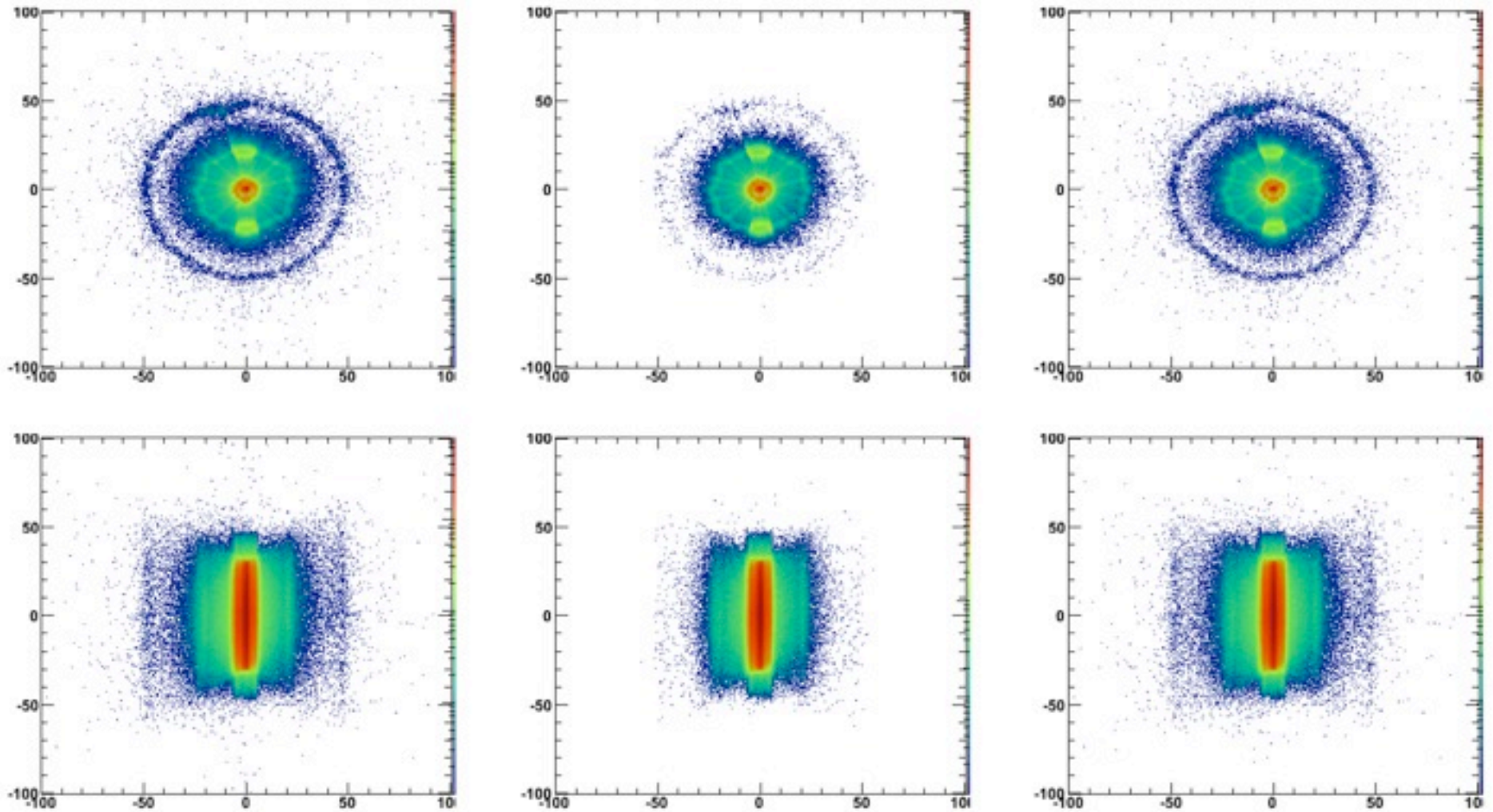
# Track cuts



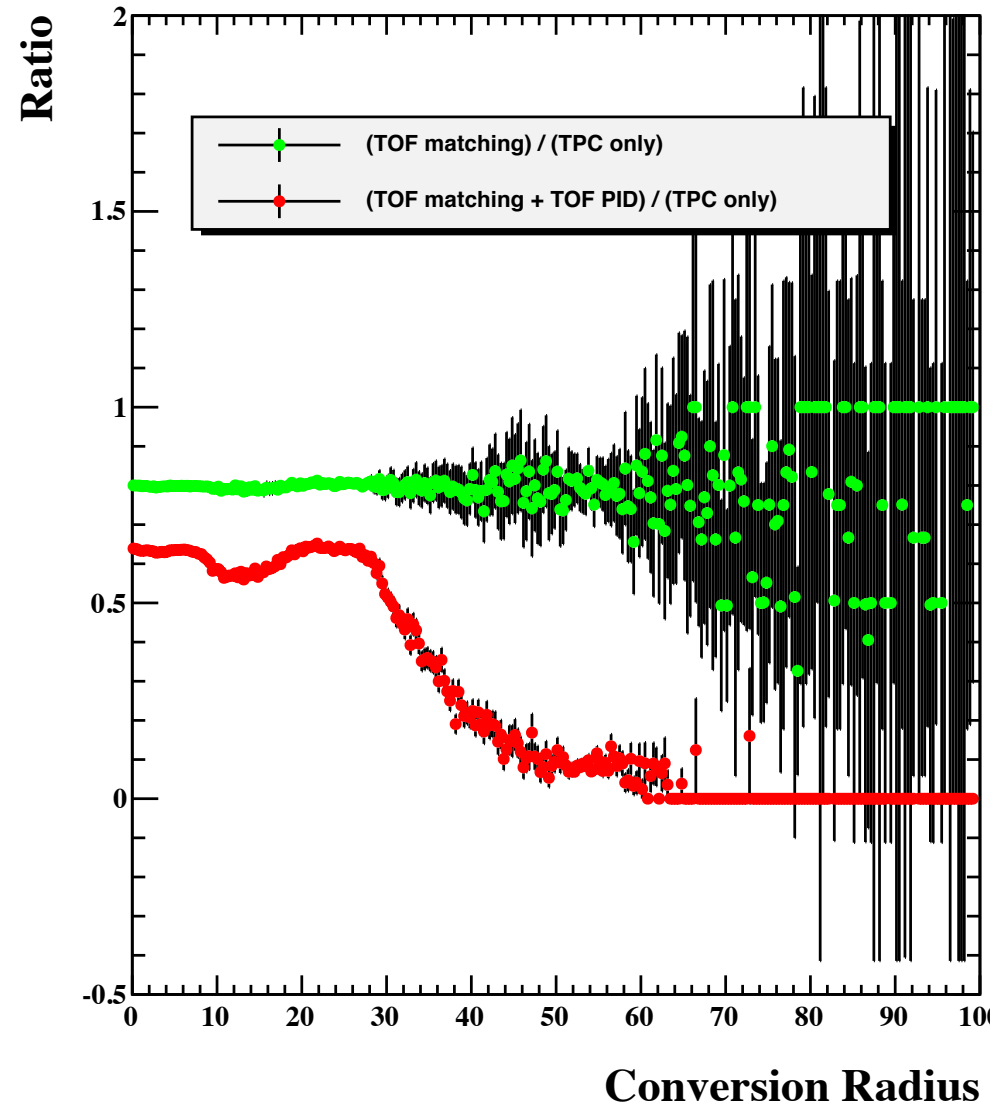
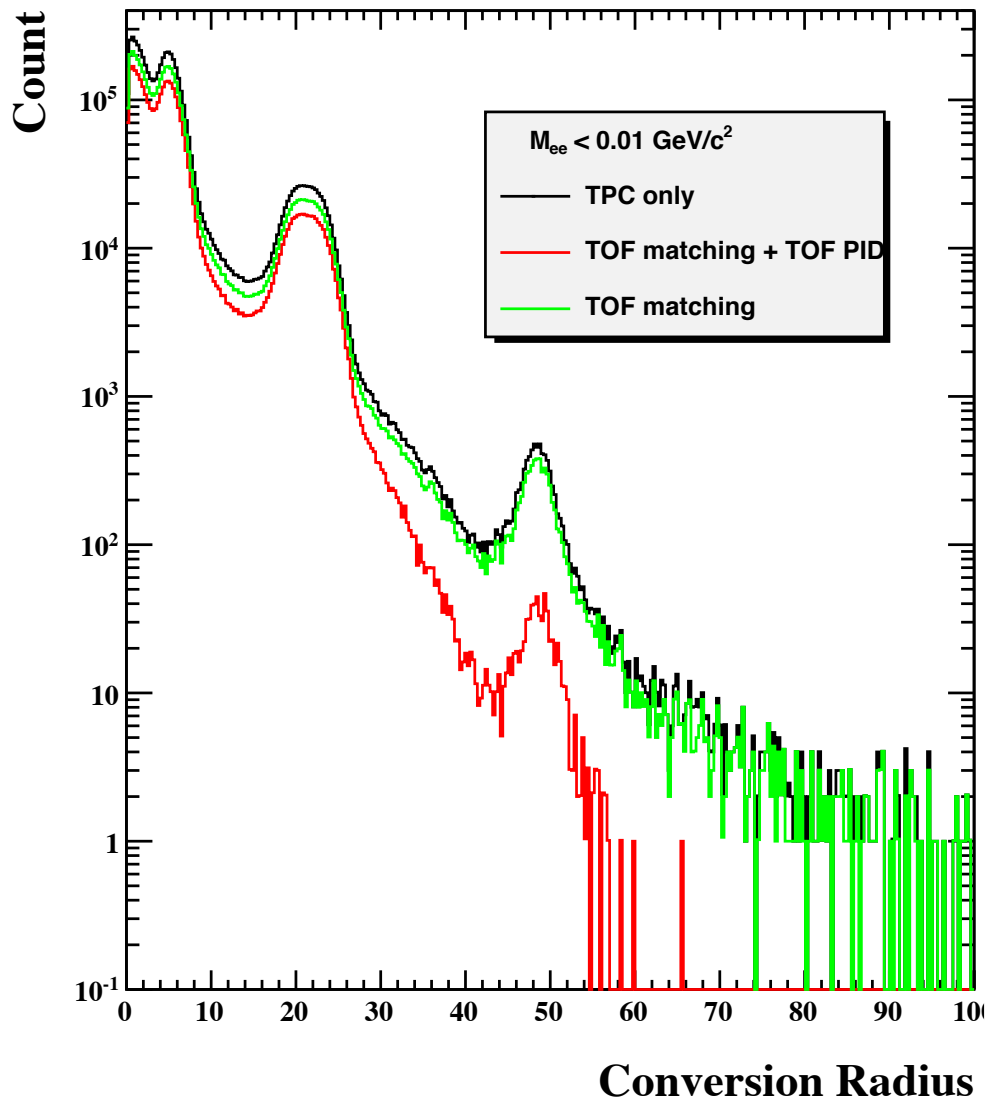
Cuts	Tagged e	Global partner 1	Global partner 2	Global partner 3
	Primary partner			
Primary track?	yes	no		
TOF hits matched?	yes	no	yes	
ylocal	(-1.9, 1.9)	-	(-1.9, 1.9)	-
zlocal	(-3.2, 3.2)	-	(-3.2, 3.2)	-
global DCA [cm]	$\leq 1.0$	-	-	-
nFitPts [#]	$\geq 20$			
nFitPts/nMax	$> 0.52$			
ndEdxFitPts [#]	$\geq 15$			
$p_T$ [GeV/c]	(0.2, 20)			
pseudo-rapidity	(-0.7, 0.7)	(-1, 1)		
1/beta - 1	(-0.025, 0.025)	-	(-0.025, 0.025)	-
nSigE	←	(-1, 2)		



# Conversion Position



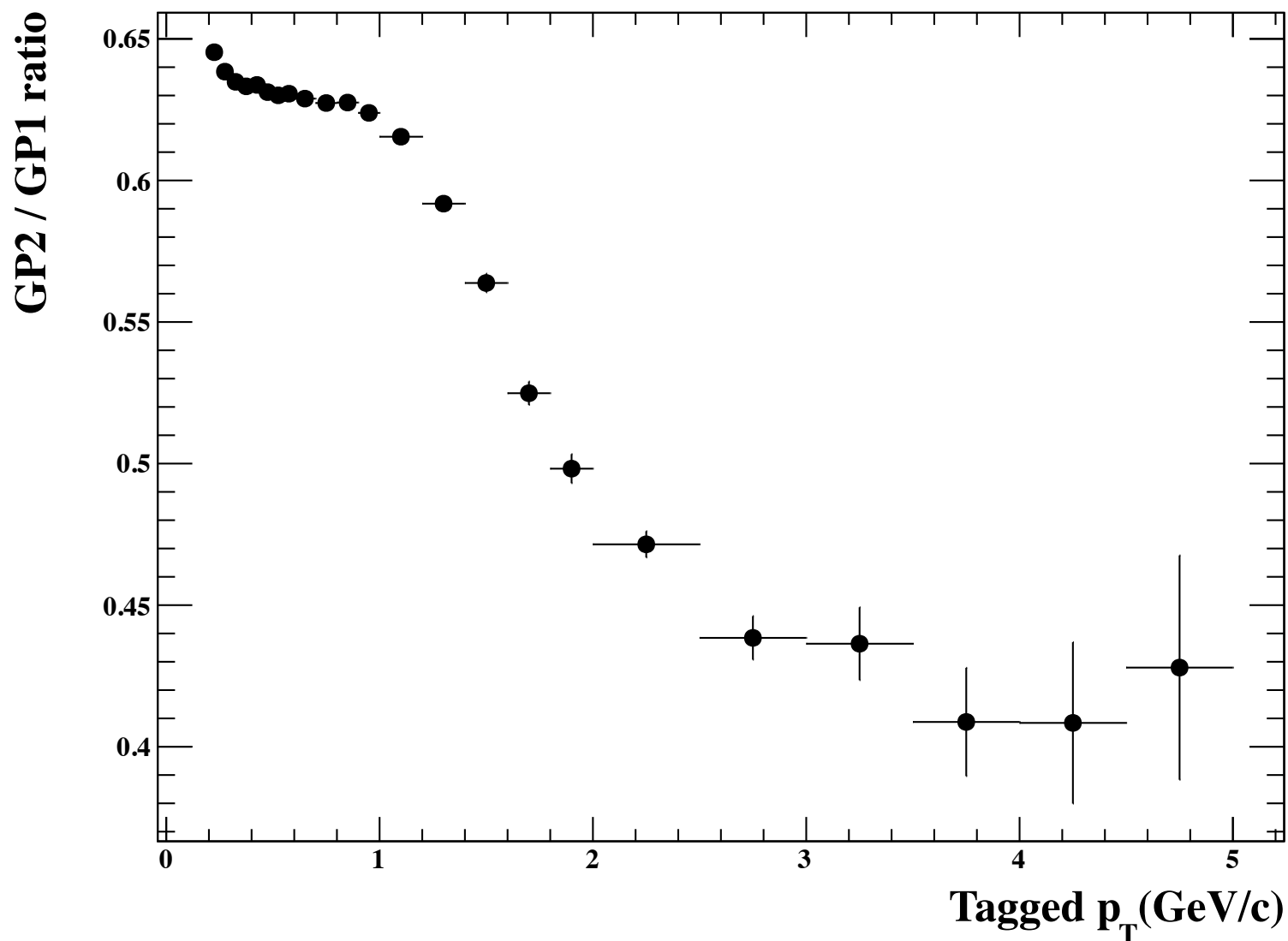
# Conversion Position



TPC only

# GP2 / GP1 ratio

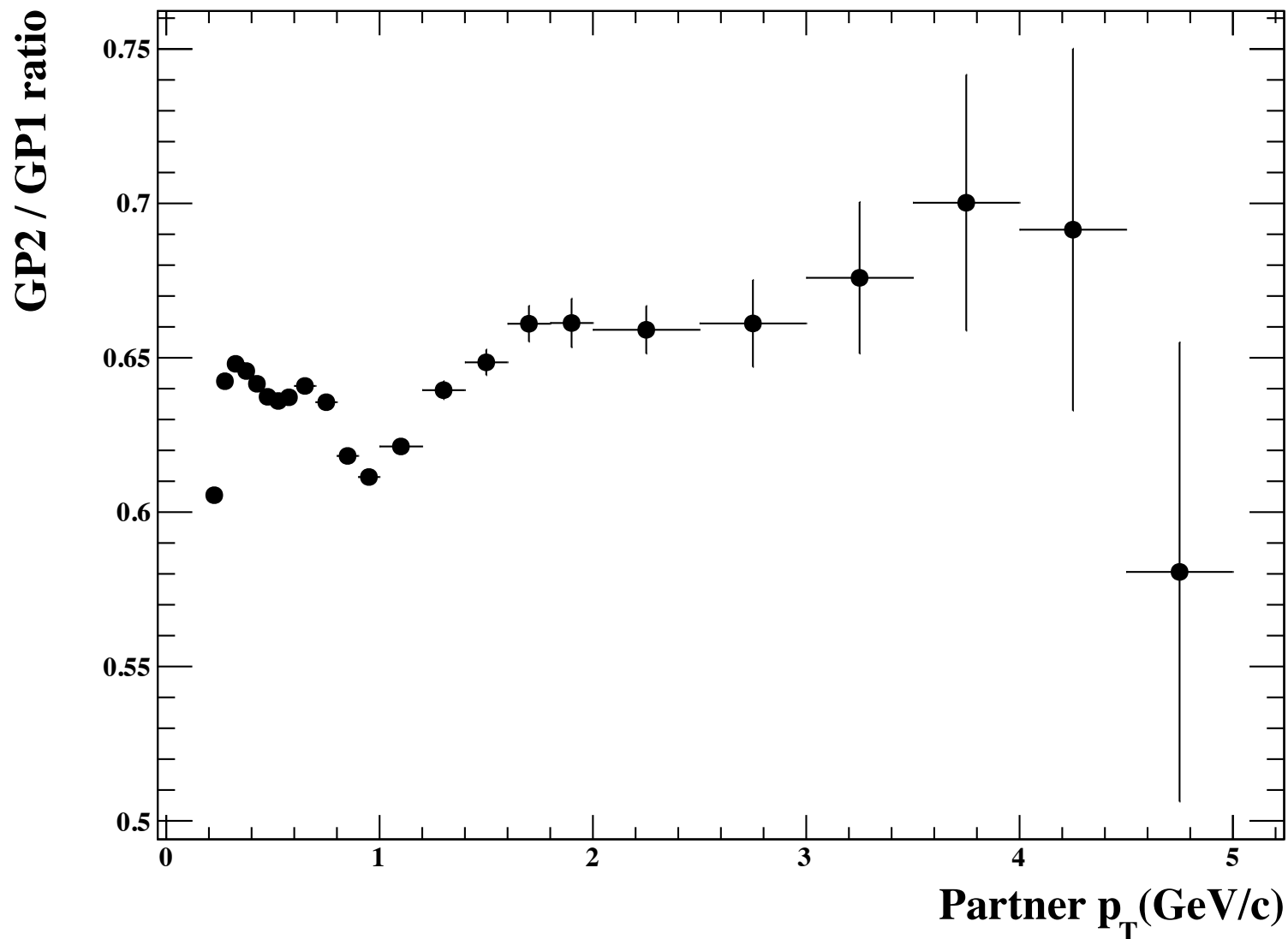
TPC + TOF matching + TOF PID



TPC only

# GP2 / GP1 ratio

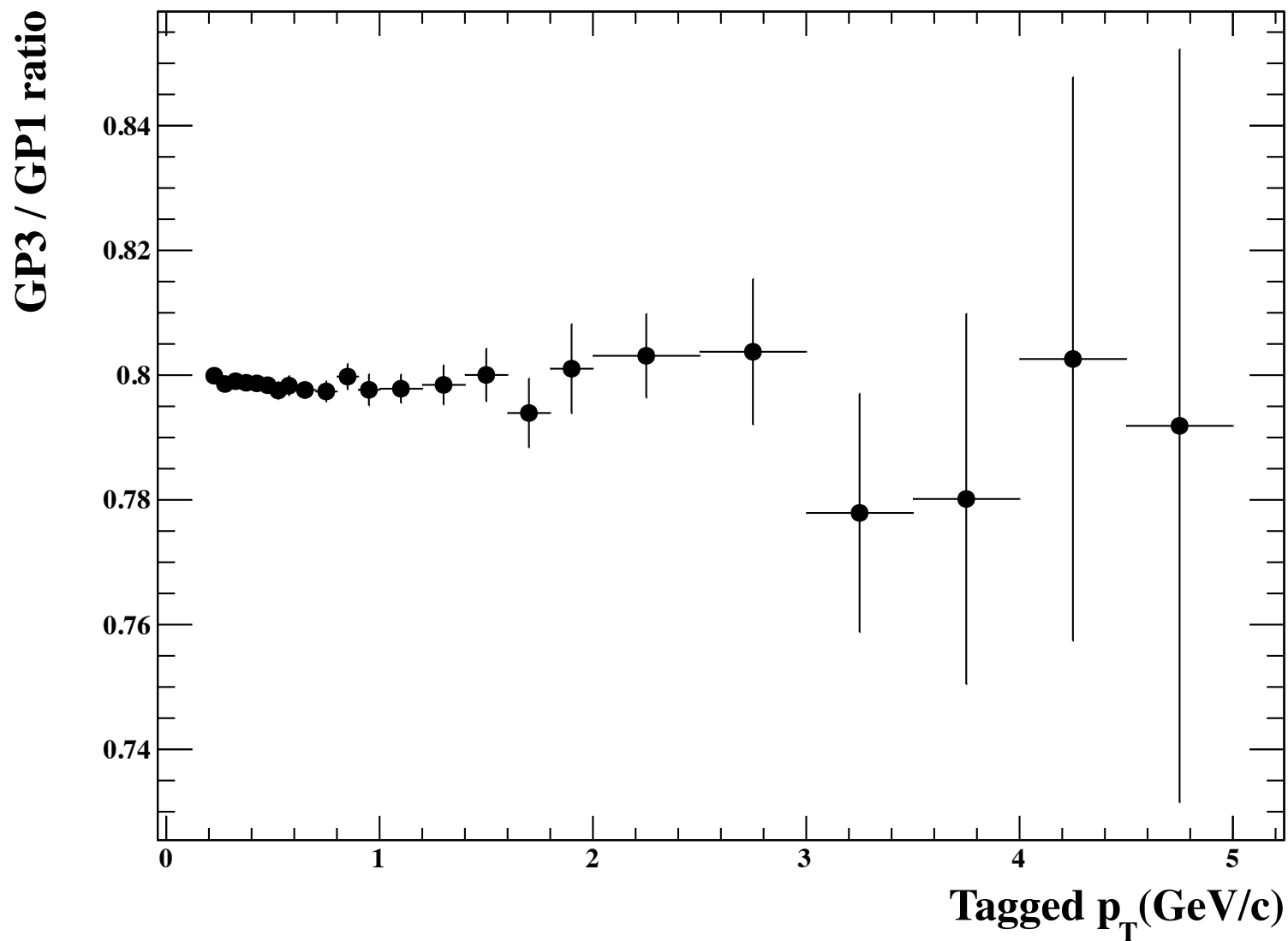
TPC + TOF matching + TOF PID



TPC only

# GP3 / GP1 ratio

TPC + TOF matching





TPC only

# GP3 / GP1 ratio

TPC + TOF matching

